

## الباب السابع

ذرة الإلكترون الواحد Field emission

يتحرك الإلكترون في ذرة الأيدروجين حول النواة في مجال قوة كهربائي  $F$

$$F = - \frac{Ze^2}{r^2} \quad (Z = 1 \text{ for } H_2)$$

إذا كان  $V$  هو جهد الإلكترون

$$\therefore F = - \frac{dV}{dr}$$

$$\therefore dV = - F dr = - \frac{e^2}{r^2} dr$$

$$\therefore V = - \frac{e^2}{r}$$

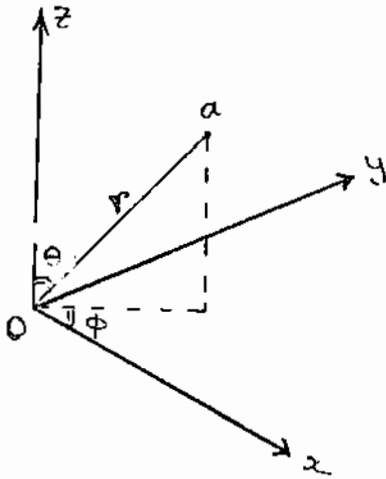
حيث  $r$  هو بعد الإلكترون عن النواة ( ويساوى بالاحداثيات المتعامدة  $(x^2 + y^2 + z^2)^{1/2}$  ) تصبح معادلة شرودنجر للإلكترون ذرة الأيدروجين : —

$$\nabla^2 \psi + \frac{8\pi^2m}{h^2} (E + e^2 (x^2 + y^2 + z^2)^{1/2}) \psi = 0$$

يعطى حل هذه المعادلة قيمة الدالة الموجية  $\Psi$  بدلالة  $x, y, z$  في أى مكان حول النواة . يكون احتمال وجود الإلكترون كبيرا كلما زادت قيمة  $|\Psi|^2$

ويستخدم عادة لحل المعادلة السابقة الإحداثيات القطبية الكرية spherical polar coordinates,  $\theta, \phi, r$ .

$$r = (x^2 + y^2 + z^2)^{1/2}$$



وباستبدال الإحداثيات  $x, y, z$  بالإحداثيات القطبية  $\theta, \phi, r$  في معادلة شرودنجر نجدها قد انفصلت الى ثلاثة معادلات تفاضلية معتمدة :-

شكل ( ٧ - ١ )

$$\left\{ \frac{d^2}{dr^2} + \frac{2}{r} \frac{d}{dr} + \frac{8\pi^2 m}{h^2} \left( E + \frac{e^2}{r} \right) - \frac{\lambda}{r^2} \right\} R = 0 \dots (a)$$

$$\left\{ \frac{d^2}{d\theta^2} + \cot \theta \frac{d}{d\theta} + \lambda - \frac{m^2 l}{\sin^2 \theta} \right\} \Theta = 0 \dots (b)$$

$$\left\{ \frac{d^2}{d\phi^2} + m^2 l \right\} \phi = 0 \dots (c)$$

حيث  $\lambda$  يسمى separation parameter عامل الانفصال وحيث الدوال  $\phi, \Theta, R$  تبين تغير الدالة الموجية في هذه الاتجاهات  $\phi, \theta, r$

أولاً : حل المعادلة الثالثة (c) سهل ويعطى دالة جيب أو جيب تمام أية

$$\psi = e^{i m_l \phi}$$

حيث  $m_l$  يجب أن يكون صحيحاً integer والا كانت الدالة الموجية  $\psi$  متمددة القيمة . ويسمى  $m_l$  بالعدد الكمي المغناطيسي .

ثانياً : قيم المتغير  $\lambda$  التي لا تعطى حلولاً للمعادلة (b) بحيث تكون الدالة الموجية  $\Theta$  محدودة ومتصلة وأحادية القيمة هي :

$$\lambda = l(l+1)$$

ويكون بذلك عدد المعاملات التي لا تتوقف على بعضها هي  $(2l+1)$

وهذه تناظر القيم المقبولة من العدد الكمي المغناطيسي  $m_l$

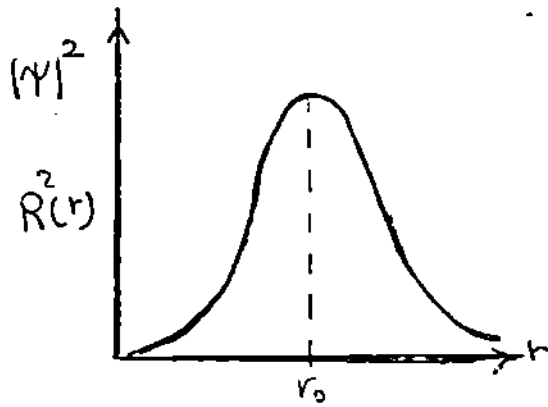
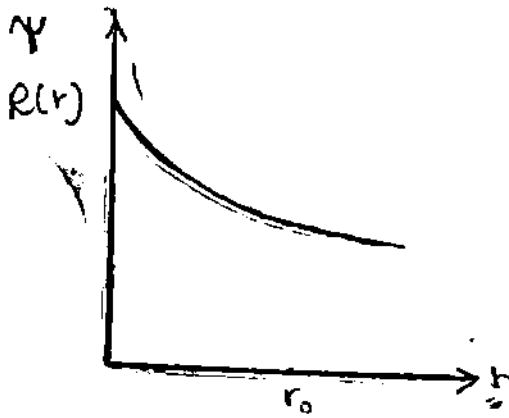
ثالثاً : حل المعادلة الأولى (a) يشبه حل بئر الجهد القائم .

أى أننا لا نجد قيمة مقبولة للدالة الموجية إذا خضعت طاقة الإلكترون  $E$  للمعادلة : -

$$E_n = - \frac{2 \pi^2 m e^4}{h^2} \cdot \frac{1}{n^2} \quad n = 1, 2, 3, \dots$$

وهذه هي نفس معادلة الطاقة التي تحصل عليها بوهر من نظريته الخاصة بالمسارات الإلكترونية .

أى أن الميكانيكا الموجية أعطت نفس مستويات الطاقة الإلكترونية ولكن لم يعد العدد الكمي النصف قطري  $n$  radial q.N. يصف مسار معين ولكنه يعبر عن كثافة الاحتمال ( احتمال لوحدته الحجم ) لوجود الإلكترونات على أبعاد مختلفة من النواة .



شکل (۷-۲)

عند  $n = 1$

مثال :

$$R(r) = \frac{2}{3^{3/2} a_0} e^{-r/a_0}$$

$$a_0 = \frac{h^2}{4\pi^2 m e^2} \quad ; \quad R^2 = \frac{4}{3 a_0^3} e^{-2r/a_0}$$

∴ لكل قيمة من قيم  $n$  أى لكل حل من المعادلة (2) يوجد حل أو أكثر للمعادلة (b) وتوصف هذه الحلول بعدد كمى آخر  $l$  يأخذ القيم

$$l = 0, 1, 2, \dots, (n-1) .$$

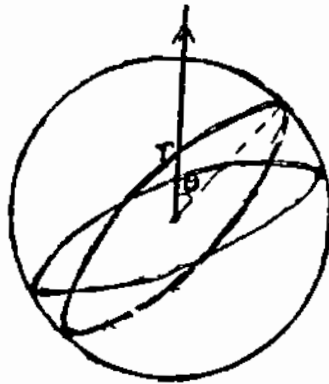
ويعين هذا العدد مدى تغير الدالة الموجية  $\psi$  مع الزاوية  $\theta$  عند ثبوت  $r$  . فكلما كبرت قيمة  $l$  تتغير قيمة  $\psi$  بسرعة مع الزاوية  $\theta$  ولذلك فإن احتمال وجود الالكترون بالقرب من النواة يكون قليلا

وبالمثل وجد انه لكل قيمة من قيم  $l$  أى لكل حل من حلول المعادلة (b) يوجد حل أو أكثر للمعادلة  $c$  . وتعطى هذه الحلول المختلفة بعدد كمى آخر  $m_l$  يمكن أن تأخذ القيم

$$m_l = -l, -(l-1), -(l-2), \dots, 1, 0, 1, \dots, l.$$

وتصف الدالة الموجية  $\psi$  كيفية تغير الدالة الموجية الكلية بتغير الزاوية  $\phi$

∴ يمكن وصف الحالة الكمية quantum state للالكترون في الذرة بثلاثة أعداد كمية  $n, l, m_l$  ويكون بذلك قد تحدد تماما تغير الدالة الموجية الكلية من نقطة الى أخرى في الفراغ .



التعبير الطيفى spectroscopic notation

تسمى الحالات الالكترونية المقابلة للعدد الكمى

$$l = 0, 1, 2, 3$$

s p d f

مثلا :

شكل ( ٧ - ٣ )

$n = 1 ; l = 0$  كافىء S 1

$$3 \text{ d تكافئ } n = 3 ; l = 2$$

وهكذا

المعنى الطبيعي للأعداد الكمية  $m_l, l, n$  :

(1) يحدد العدد الكمي  $n$  مستوى الطاقة كما في معادلة بوهر :

$$E_n = - \frac{2\pi^2 m e^4}{n^2 h^2} \quad n = 0, 1, 2, 3, \dots$$

وتغيير  $m_l, l$  عند ثبوت قيمة  $n$  لا يغير من مستوى طاقة المجموعة وأن كان بسبب تطلُّ المستوى Degeneracy

(2) يحدد العدد الكمي المداري لكمية الحركة الزاوية  $l$

يحدد orbital angular momentum quantum number

كمية الحركة الزاوية  $L$  لحركة الجسم حول المركز الجاذب . حيث

$$L = l \frac{h}{2\pi}$$

وتأخذ  $l$  القيم من 0 إلى  $n-1$

(3) يرتبط العدد الكمي المغناطيسي  $m_l$  بمركبه متجهه كمييه الحركة الزاوية  $L$  على المحور الرأسى  $z$

.. مركبه  $L$  على الرأسى هي

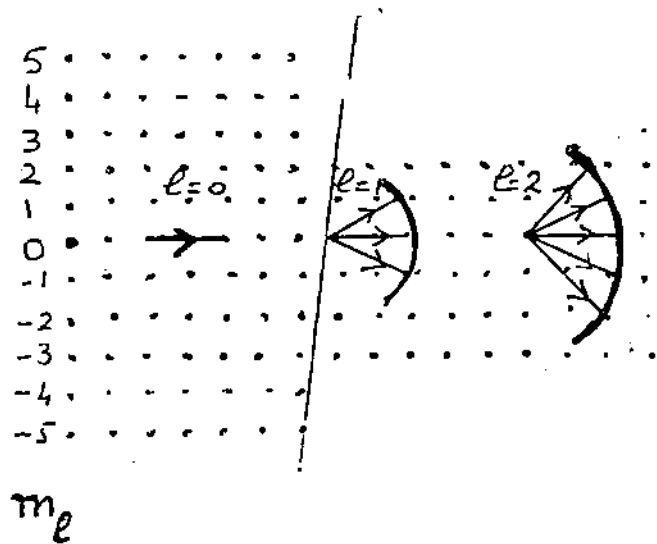
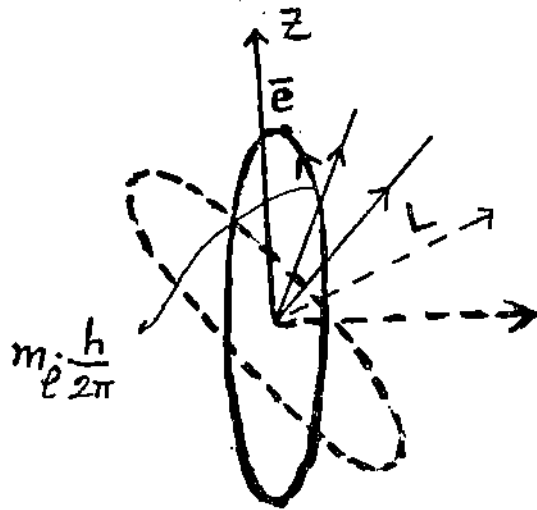
$$L_z = m_l \cdot \frac{h}{2\pi}$$

اتجاهه متجهه كمية الحركة الزاوية :

من حل معادلة شرودنجر نجد أن عندما تكون قيمة  $l = 1$  يمكن

لمتجه كمية الحركة الزاوية  $L$  ان يأخذ ثلاثة اوضاع في الفراغ تكون مركباتها على محور  $z$  هي

$$+ \frac{h}{2\pi}, 0, - \frac{h}{2\pi}$$



شكل (٧ - ٤)

أي ان  $m = +1, 0, -1$

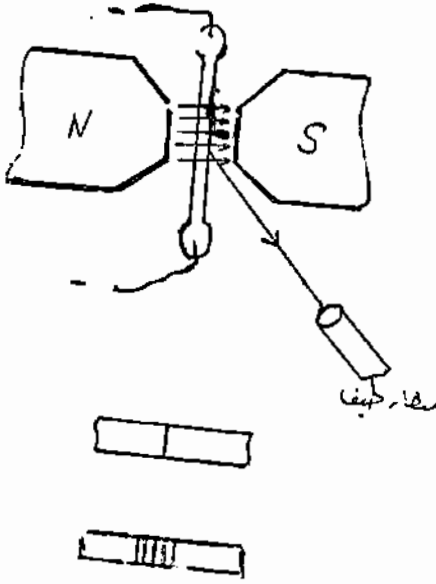
وهذا يعني ان لكل  $l$  يوجد  $(2l + 1)$  طريقة لوضع المتجه  $L$  في الفراغ وهذا يعني ان هناك اوضاع معينة فقط في الفراغ يمكن ان يأخذها  $L$  وهذه الأوضاع هي فقط التي يكون فيها مستط  $L$  على الراسي  $z$  عددا صحيحا  $0, \pm 1, \pm 2, \dots$  ويسمى ذلك

التحديد بكمية الفراغ

Space quantization

وذلك لان ليس كل اتجاه

في الفراغ ممكنا للمتجه  $L$



واثبات هدا كمية الفراغ نحصل

عليه بدراسة تأثير المجال المغناط

يسى على خطوط الطيف كما في

تأثير زيمان

Zeeman's effect

شكل ( ٧ - ٥ )

وضع زيمان أنبوية تفريغ كهربائي في مجال مغناطيسي وفحص الضوء بواسطة مطياف له قوة تفريق كبير . وجد ان خطوط الطيف قد انفلقت الى عدة خطوط متتارية ومقدار الانفلاق magnitude of splitting يتوقف على شدة المجال المغناطيسي .



## ولتفسير ظاهرة زيمان Zeeman effect

نفرض الكترون سرعته  $v$  يتحرك في مسار نصف قطره  $r$  ويعمل

عدد من الدورات في الثانية  $= \frac{v}{2\pi r}$  هذه الحركة تكافئ تيارا كهربائيا  $I$

يهر في اتجاه مسار الالكترن

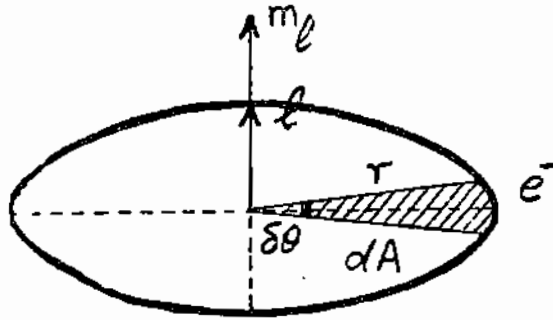
$$\therefore I = \frac{-e v}{2\pi r c} = \frac{-e}{cT} \quad \left( \frac{v}{2\pi r} = \frac{1}{T} \right)$$

فيكون مجال مغناطيسي عمودي على مستوى المسار

ويمكننا اعتبار وجود مغناطيس محوره عمودي على مستوى المسار

عزمه المغناطيسي  $M_l = I A$  ويعطى نفس التأثير .

مساحة المسار  $A$  تساوى :



شكل ( ٧ - ٦ )

$$A = \int_0^{2\pi} \frac{1}{2} r^2 d\theta = \int_0^T \frac{1}{2} r^2 \frac{d\theta}{dt} dt$$

حيث  $T$  هو زمن الدوران في المسار .

ولكن كمية الحركة الزاوية  $m v r$  تخضع للمبدأ الكمي . أي أن

$$m v r = m r^2 \dot{\theta} = l \frac{h}{2\pi}$$

∴ تكون مساحة المسار

$$A = \int_0^T \frac{l h}{4\pi m} dt = \frac{l h}{4\pi m} \cdot T.$$

ويكون العزم المغناطيسي المصاحب لحركة الإلكترون

$$\overline{M}_I = - \frac{e}{c \cdot T} \cdot \frac{l h}{4\pi m} \cdot T$$

$$\therefore \vec{M}_I = \frac{-e h}{4\pi m c} \cdot l = - B \cdot l$$

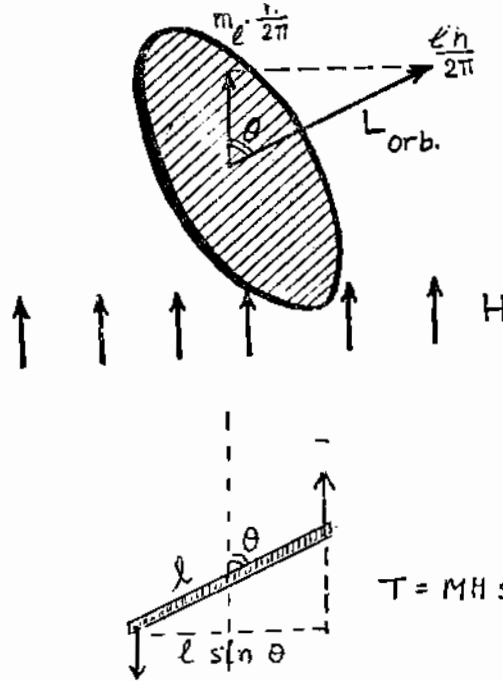
حيث  $B$  هو ماجنتون بوهر Bohr magneton ويساوى العزم المغناطيسي الناتج عن الإلكترون يدور في المسار الأول لذرة الأيدروجين

( وهو وحدة العزم المغناطيسي ) كمية حركته الزاوية هي  $\frac{h}{2\pi}$   
 $(B = 9.27 \times 10^{-24} \text{ amp/m}^2)$

ولما كان  $\vec{M}_I$  كمية متجهة عمودية على مستوى المسار ، ولما كانت  $\vec{B}$  مقدار ثابت لذلك يجب أن يكون  $l$  كمية متجهة .

## طاقة الموضع المغناطيسية :

عند التأثير بمجال مغناطيسي خارجي يدور مستوى الملف وتتوقف طاقة الموضع المغناطيسية على مقدار زاوية الميل  $\theta$  بين اتجاه المجال المغناطيسي والعمودي على مستوى الملف .



شكل ( ٧ - ٧ )

إذا كان  $T$  هو الأزواج المؤثر على المغناطيس الجزيئي عندما تؤثر بمجال مغناطيسي  $H$  يكون

$$T = MH \sin \theta$$

حيث  $\theta$  هي زاوية الميل مع اتجاه المجال

إذا حركنا المغناطيس زاوية صغيرة  $\theta$  يتغير الجهد المغناطيسي بمقدار

$$dV = T d\Theta$$

وبفرض أننا بدأنا التأثير بالمجال عندما كان محور المغناطيس الجزيئي متعامدا مع المجال ( أى ان مستوى المسار للإلكترون فى اتجاه المجال ) يكون الجهد المغناطيسى لادارة محور المغناطيس ليصنع زاوية  $\Theta$  مع المجال

$$\begin{aligned} V &= \int_{\frac{1}{2}\pi}^{\Theta} T d\Theta \\ &= \int_{\frac{1}{2}\pi}^{\Theta} MH \sin\Theta d\Theta = - MH \cos\Theta \end{aligned}$$

ولكن

$$\cos\Theta = ml \cdot \frac{h}{2\pi} L \text{ (orb.)} = ml / l$$

$$\dots V = - M H ml \frac{h}{2\pi} \cdot L \text{ orb.}$$

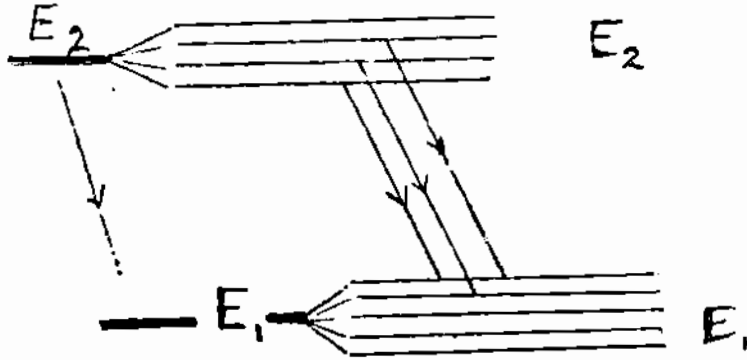
$$= + \frac{eh}{4\pi mc} \cdot H \cdot ml$$

$$V = B \cdot ml \cdot H$$

حيث  $B$  هو بوهر ماجنتون ،  $ml$  هو العدد الكمى المغناطيسى ولما كانت قيم  $ml$  اعداد صحيحة فقط يكون التغير فى الجهد المغناطيسى على مراحل ولا يكون التغير متصلا .

ونتيجة لذلك ما يأتى : -

عند التأثير بمجال مغناطيسي خارجي على الإلكترون في ذرة ما فإن كل مستوى من مستويات الطاقة يتحلل degenerates الى عدد من المستويات مما يتسبب عنها ظهور عدة خطوط طيفية مكان الخط الواحد الذي كان يميز مستوى الطاقة  $E_2 - E_1 = hf$  قبل ادخال المجال المغناطيسي .



شكل (٧ - ٩)

وبالرغم من أن هذه النظرية قد فسرت عدداً من خطوط الطيف الدقيقة إلا أنها عجزت عن تفسير الجميع ولذلك بدأ التفكير في حركة الإلكترون مغزلياً بالإضافة لحركته المدارية .

#### حركة الإلكترون مغزلياً Electron spin

حسب النظرية الكلاسيكية للكهرومغناطيسية ، إذا ادبرت كره عليها شحنة منتظمة في حركة مغزلية يكون لها عزم مغناطيسي إذ يمكن اعتبارها كأنها مغناطيس بتيارات كهربائية ويكون لها أيضاً كمية حركة زاوية بسبب كمية حركة المجال الكهرومغناطيسي المحيط بها .

وعلى هذا الأساس فرض أوهلتيك وجود سميت حركة الإلكترونات حركة مغزلية إما موازية أو عكس موازية للمجال المغناطيسي .  
parallel or anti parallel

ويمكن اثبات ان كمية الحركة الزاوية المصاحبة للحركة المغزلية هي

$$P_s = S \cdot \frac{h}{2\pi}$$

حيث  $S$  هو العدد الكمي المغزلى ويساوى  $\pm \frac{1}{2}$  ويكون العزم المغناطيسى المصاحب هو

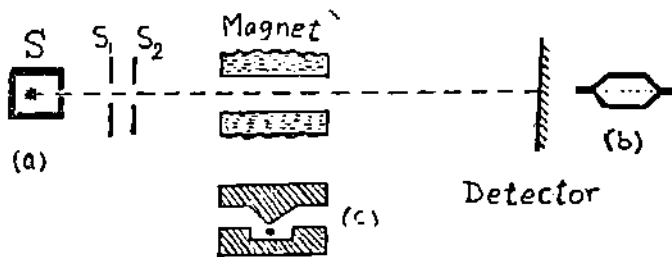
$$\frac{eh}{2\pi mc} \cdot S$$

وبادخال العدد الكمي المغزلى تكون حالة الالكترون قد عينت تماما بأربعة اعداد كمية هي  $n, l, m_l, S$

تحقيق وجود الحركة المغزلية للالكترون عمليا :

تجربة شستيرن وجيرلاخ Stern & Gerlach

تمرر حزمه من ذرات الفضة المتعادلة ذات الطاقة الواحدة بين قطبي مغناطيسى قوى مفرق « diverging » غير منتظم .



شكل (٧ - ١٠)

وقد صممت الاقطاب بحيث تحرف الذرات التى تحتوى على عزم مغناطيسى .

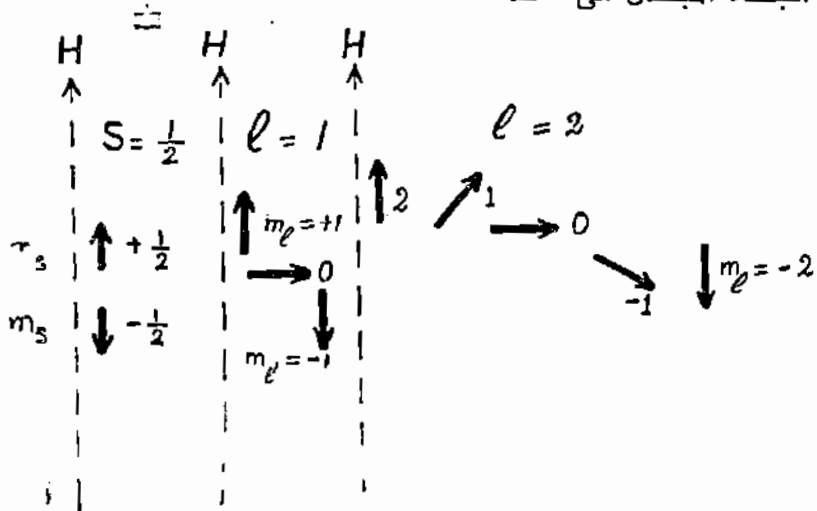
وجد أن عدد من هذه الذرات قد انحرف إلى أعلى بينما انحرف الباقي إلى أسفل وظهر الشعاع على حائزاً الوميض وكأنه اثنين منفصلين كما وجد أن الإزاحة إلى أعلى تساوى تماماً الإزاحة لأسفل .

ولما كانت ذرات الفضة هنا متعادلة فإن هذا الانحراف قد نشأ عن الإلكترون الوحيد في المسار الخارجى. single-valence electron. فالتجربة تثبت أن تركيب هذه الإلكترونات ليست واحدة بدليل الاختلاف في اتجاه الانحراف .

وبفرض الحركة المغزلية للإلكترون يمكن اعتبارها كثنائى قطب dipole يدور في الاتجاه الموجب أو في الاتجاه السالب حول المجال المغناطيسى .  
parallel or anti-parallel

وبذلك يؤثر المجال المفرق على الإلكترونات بقوة تعتمد في اتجاهها على اتجاه الحركة المغزلية للإلكترون وبالتالي فهو ينحرف إما إلى أعلى أو إلى أسفل .

وقد أمكن اثبات بالتجربة أن مركبة الحركة الزاوية المغزلية للإلكترون في اتجاه المجال هي : -



شكل ( ٧ - ١١ )

$$P_{SH} = S \frac{h}{2\pi} ; S = \psi \frac{1}{2}$$

ومن نتائج هذه التجربة أيضا اثبات فكرة كمية الفراغ  
space quantization.

### مبدأ باولي : Pauli exclusion principle

تعالج جميع الحالات السابقة حالة جسيم واحد في المجموعة مثلا  
الالكترون واحد في مسار حول نواه . ولكن ليست هذه هي الحالة العامة

في حالة الذرة متعددة الالكترونات يعالج كل الكترون على حده ثم  
تجمع الحلول للحصول على حل عام . وتكون طاقة الذرة هي مجموع طاقات  
الالكترون في حالاتها المختلفة . ولما كان هناك عددا من الالكترونات فقد وجد  
باولي انه لا يمكن لأكثر من الكترون واحد أن يكون على حالة كمية واحدة .  
أي انه لا يمكن لأي الكترونين أن يشتركا في نفس الأعداد الكمية الأربعة  
 $n, l, m, s$  وهذا يعنى أن مستوى الطاقة الأول يشغله الكترونان  
فقط  $S = \psi \frac{1}{2}$  إذا وجد أكثر من الكترونين في الذرة فإن الثالث  
يأخذ مكانه في مستوى الطاقة الأعلى وبعد أن يتم شغل هذا المستوى أيضا  
ننتقل للمستوى التالي وهكذا .

ومن الجدير بالذكر أن مبدأ باولي قد تم اكتشافه قبل تطور ميكانيكا  
الكم والتي اثبتته فيها بعد .

Shells and subshells :  
The periodic table :

### الجدول الدوري :

اعتبر ذرة متعادلة بها عدد  $Z$  من الالكترونات في مستويات الطاقة  
المنخفضة lowest states

أول الكترونين يشغلان  $1s$  وهي الحالة الكمية الأولى التي يعرفها



$$(n = 1 ; l = 0 ; m_l = 0 , S = \pm \frac{1}{2})$$

وباعتبار مبدأ باولي لايجوز أن يتواجد في هذه الحالة أكثر من هذين الإلكترونين . ولكن يمكن للإلكترونات أن توجد على مستويات الطاقة الأعلى

$$n > 1$$

تكون الإلكترونات التي يكون لها نفس العدد الكمي  $n$  مايسمى صدفه Shell .

تقسم كل صدفه shell الى تحت صدفات subshells حسب قيمة  $l$  وعدد الإلكترونات التي توجد في كل subshell تحت صدفه هو  $Nl = 2(2l + 1)$  لأن  $ml$  تأخذ القيم  $-l, -(l-1), \dots, -1, 0, +1, \dots, +l$  وهذه تعطى عدد  $(2l + 1)$  قيما مختلفة لقيم  $ml$  المختلفة وبما أن في كل حالة قيمة  $S = \pm \frac{1}{2}$  لذلك تكون عدد الإلكترونات الكلية في الـ (subshell) تحت صدفه هو  $2(2l + 1)$

$$\langle S = 2 ; p = 6 ; d = 10 ; f = 14 \dots \rangle$$

عدد الإلكترونات الكلي الذي يوجد في الصدفه shell هو  $2n^2$

ونحصل على هذه القيمة بتجميع الكرونات الـ sub shells تحت الصدفات لجميع قيم  $l$

$$\begin{aligned} \therefore N_n &= \sum_{l=0}^{n-1} Nl \\ &= \sum_{l=0}^{n-1} 2(2l + 1) = 4 \sum_{l=0}^{n-1} l + 2 \sum_{l=0}^{n-1} 1 \end{aligned}$$

لكن التسلسله

$$\sum_{0}^{n-1} 1 = 0 + 1 + 2 + \dots + (n-1)$$

وبما أن عدد المتسلسلة  $n$  ومتوسط قيمة الحد

$$\sum_{0}^{n-1} 1 = n \left( \frac{n-1}{2} \right) \text{ يكون مجموع المتسلسلة هو } \frac{n-1}{2}$$

أيضا

$$\sum_{0}^{n-1} 1 = n \times 1$$

وبالتعويض في معادلة  $N_n$  :

$$\therefore N_n = 4 \frac{n(n-1)}{2} + 2n = 2n^2$$

ويبين الجدول الآتي أعداد الإلكترونات في مستويات الطاقة المختلفة : —

n	$m_l$	$m_s$	No. of electrons	
1	0	0 ... $\pm \frac{1}{2}$	2 — 1 s <sup>2</sup>	
		0 ... $\pm \frac{1}{2}$	2 — 2 s <sup>2</sup>	
2	0	0 ... $\pm \frac{1}{2}$	2 — 2 s <sup>2</sup>	
		1 ... $\pm \frac{1}{2}$		
	1	0 ... $\pm \frac{1}{2}$	6 — 2 p <sup>6</sup>	
		-1 ... $\pm \frac{1}{2}$		
3	0	0 ... $\pm \frac{1}{2}$		2 — 3 s <sup>2</sup>
		1 ... $\pm \frac{1}{2}$		
	1	0 ... $\pm \frac{1}{2}$	6 — 3 p <sup>6</sup>	
		-1 ... $\pm \frac{1}{2}$		
	2	2 ... $\pm \frac{1}{2}$		10 — 3 d <sup>10</sup>
		1 ... $\pm \frac{1}{2}$		
0 ... $\pm \frac{1}{2}$				
-1 ... $\pm \frac{1}{2}$				
	-2 ... $\pm \frac{1}{2}$			

شكل ( ٧ - ١٢ )

وبترتيب العناصر حسب اعدادها الذرية اى حسب عدد الالكترونات الموجودة بكل ذرة نحصل على مايسمى بالجدول الدورى

اذا بدأنا بالايديروجين  $Z = 1$  ويشغل الالكترون الوحيد هنا المستوى الاول  $n = 1$  ويكون رمز الالكترون هو  $1s^1$  بالنسبة للهيليوم يوجد الكترونين  $1s^2$  ويصبح مستوى الطاقة الاول  $n = 1$  عندئذ مشبعا اى لايقبل اى الكترون اضافى ويكون شكل الدالة الموجيه  $\psi$  في هذه الحالة كرى تقريبا ولذلك لايقبل الهيليوم الاتحاد مع اى عنصر آخر

(inert gas) ولذلك يسمى خامل . وكذلك الحال كلما امتلأت احد مستويات الطاقة عن آخرها فاننا نصل الى عنصر خامل . التالى بعد الهيليوم هو النيون ويحتوى على  $(1s^2 + 2s^2 + 2 p 6)$  . الكروونات لكل ذرة . والتالى هو الارجون ويحتوى ٢٨ ويطلق عادة على الاغلفة الأولى الحروف

K ; L ; M ; N ;  
 (n = 1) (n = 2) (N = 3) (n = 4)

الجدول الدورى

	M			L		K	
	3 d l = 2	3 p l = 1	3 s l = 0	2 p l = 1	2 s l = 0	1 s l = 0	
First shost period						1	H 1
						2	He 2
					1	2	Li 3
					2	2	Be 4
				1	2	2	B 5
				2	2	2	C 6
				3	2	2	N 7
				4	2	2	O 8
				5	2	2	F 9
				6	2	2	Ne 10
second shost period			1	6	2	2	Na 11
			2				Mg 12
		1	2	Neon core			Al 13
		2	2				Si 14
		3	2				P 15
							S 16
							Cl 17
							A 18